

(19) 日本国特許庁(JP)

(12) 特 許 公 報(B2)

(11) 特許番号

特許第5309452号  
(P5309452)

(45) 発行日 平成25年10月9日(2013.10.9)

(24) 登録日 平成25年7月12日(2013.7.12)

(51) Int.Cl. F I  
 HO 1 L 21/20 (2006.01) HO 1 L 21/20  
 HO 1 L 21/338 (2006.01) HO 1 L 29/80 H  
 HO 1 L 29/778 (2006.01)  
 HO 1 L 29/812 (2006.01)

請求項の数 14 (全 28 頁)

<p>(21) 出願番号 特願2007-49792(P2007-49792)                  (22) 出願日 平成19年2月28日(2007.2.28)                  (65) 公開番号 特開2008-218479(P2008-218479A)                  (43) 公開日 平成20年9月18日(2008.9.18)                  審査請求日 平成22年2月1日(2010.2.1)</p> <p>(出願人による申告) 国等の委託研究の成果に係る特許出願(平成13年度新エネルギー・産業技術総合開発機構基盤技術研究促進事業に係る委託研究、産業活力再生特別措置法第30条の適用を受けるもの)</p>	<p>(73) 特許権者 000106276                  サンケン電気株式会社                  埼玉県新座市北野3丁目6番3号                  (74) 代理人 100072154                  弁理士 高野 則次                  (72) 発明者 柳原 将貴                  埼玉県新座市北野3丁目6番3号 サンケン電気株式会社内                  審査官 河合 俊英</p>
--	--

最終頁に続く

(54) 【発明の名称】 半導体ウエーハ及び半導体素子及び製造方法

(57) 【特許請求の範囲】

【請求項1】

基板(2)と、前記基板(2)の一方の主面上に配置され且つ化合物半導体で形成されたバッファ領域(3又は3a又は3b又は3c又は3d)と、前記バッファ領域(3又は3a又は3b又は3c又は3d)の上に配置され且つ化合物半導体で形成された主半導体領域(4)とを有する半導体ウエーハであって、

前記バッファ領域(3又は3a又は3b又は3c又は3d)は、第1の多層構造バッファ領域(5又は5a又は5b)と、該第1の多層構造バッファ領域(5又は5a又は5b)の上に配置された第2の多層構造バッファ領域(8又は8a又は8b又は8c)とから成り、

前記第1の多層構造バッファ領域(5又は5a又は5b)はサブ多層構造バッファ領域(6)と単層構造バッファ領域(7)との交互積層体から成り、

前記サブ多層構造バッファ領域(6)は交互に配置された複数の第1及び第2の層(61、62又は62a~62d)を含み、

前記第1の層(61)は前記基板(2)を構成する材料よりも小さい格子定数を有する化合物半導体から成り且つ前記単層構造バッファ領域(7)よりも薄く形成され、

前記第2の層(62)は前記第1の層(61)の格子定数と前記基板(2)の格子定数との間の格子定数を有する化合物半導体から成り且つ前記単層構造バッファ領域(7)よりも薄く形成され、

前記単層構造バッファ領域(7)は前記第1の層(61)の格子定数と前記基板(2)

の格子定数との間の格子定数を有する化合物半導体から成り且つ前記第1の層(61)及び前記第2の層(62)よりも厚く形成され、

前記第2の多層構造バッファ領域(8又は8a又は8b又は8c)は交互に配置された複数の第3及び第4の層(81、82又は82a~82d)を含み、

前記第3の層(81)は前記基板(2)を構成する材料よりも小さい格子定数を有する化合物半導体から成り且つ前記単層構造バッファ領域(7)よりも薄く形成され、

前記第4の層(82又は82a~82d)は前記第3の層(81)の格子定数と前記基板(2)の格子定数との間の格子定数を有する化合物半導体から成り且つ前記単層構造バッファ領域(7)よりも薄く形成され、

前記第1の多層構造バッファ領域(5又は5a又は5b)は前記主半導体領域(4)の平均的に見た格子定数よりも小さい平均的に見た格子定数を有し、

前記第2の多層構造バッファ領域(8又は8a又は8b又は8c)は、前記主半導体領域(4)と前記第1の多層構造バッファ領域(5又は5a又は5b)との間の平均的に見た格子定数を有していることを特徴とする半導体ウエーハ。

【請求項2】

前記基板(2)はシリコン、シリコン化合物、及びサファイアから選択された1つからなることを特徴とする請求項1記載の半導体ウエーハ。

【請求項3】

前記第1の層(61)はアルミニウムを第1の割合で含む窒化物半導体から成り、

前記第2の層(62)はアルミニウムの含有割合が前記第1の割合よりも小さい第2の割合(ゼロを含む)の窒化物半導体から成り、

前記単層構造バッファ領域(7)はアルミニウムの含有割合が前記第1の割合よりも小さい第3の割合(ゼロを含む)の窒化物半導体から成り、

前記第3の層(81)はアルミニウムを第4の割合で含む窒化物半導体から成り、

前記第4の層(82又は82a~82d)はアルミニウムの含有割合が前記第4の割合よりも小さい第5の割合(ゼロを含む)の窒化物半導体から成ることを特徴とする請求項1又は2記載の半導体ウエーハ。

【請求項4】

前記第4の層(82又は82a~82d)は前記第2の層(62)よりも厚く形成されていることを特徴とする請求項3記載の半導体ウエーハ。

【請求項5】

前記主半導体領域(4)は平均的に見たアルミニウムの含有割合が前記第4の割合よりも小さい第6の割合(ゼロを含む)の窒化物半導体から成ることを特徴とする請求項3記載の半導体ウエーハ。

【請求項6】

前記第1の多層構造バッファ領域の前記サブ多層構造バッファ領域(6)の数は、前記第1の多層構造バッファ領域の前記単層構造バッファ領域(7)の数よりも1個多く、前記第1の多層構造バッファ領域の最も上に前記サブ多層構造バッファ領域(6)が配置され、

前記第2の多層構造バッファ領域は、前記第1の多層構造バッファ領域の最も上の前記サブ多層構造バッファ領域(6)の上に直接に配置されていることを特徴とする請求項1記載の半導体ウエーハ。

【請求項7】

基板(2)と、前記基板(2)の一方の主面上に配置され且つ化合物半導体で形成されたバッファ領域(3b)と、前記バッファ領域(3b)の上に配置され且つ化合物半導体で形成された主半導体領域(4)とを有する半導体ウエーハであって、

前記バッファ領域(3b)は、第1の多層構造バッファ領域(5)と、該第1の多層構造バッファ領域(5)の上に配置された第2の多層構造バッファ領域(8a)とから成り、

前記第1の多層構造バッファ領域(5)はサブ多層構造バッファ領域(6)と単層構造

10

20

30

40

50

バッファ領域(7)との交互積層体から成り、

前記サブ多層構造バッファ領域(6)は交互に配置された複数の第1及び第2の層(61、62)を含み、

前記第1の層(61)は前記基板(2)を構成する材料よりも小さい格子定数を有する化合物半導体から成り且つ前記単層構造バッファ領域(7)よりも薄く形成され、

前記第2の層(62)は前記第1の層(61)の格子定数と前記基板(2)の格子定数との間の格子定数を有する化合物半導体から成り且つ前記単層構造バッファ領域(7)よりも薄く形成され、

前記単層構造バッファ領域(7)は前記第1の層(61)の格子定数と前記基板(2)の格子定数との間の格子定数を有する化合物半導体から成り且つ前記第1の層(61)及び前記第2の層(62)よりも厚く形成され、

前記第2の多層構造バッファ領域(8a)は複数の第2のサブ多層構造バッファ領域(8'、8'')と該複数の第2のサブ多層構造バッファ領域(8'、8'')の相互間に配置された第2の単層構造バッファ領域(90)とから成り、

前記複数の第2のサブ多層構造バッファ領域(8'、8'')は交互に配置された複数の第3及び第4の層(81、82)をそれぞれ含み、

前記第3の層(81)は前記基板(2)を構成する材料よりも小さい格子定数を有する化合物半導体から成り且つ前記前記第2の単層構造バッファ領域(90)よりも薄く形成され、

前記第4の層(82)は前記第3の層(81)の格子定数と前記基板(2)の格子定数との間の格子定数を有する化合物半導体から成り且つ前記第2の単層構造バッファ領域(90)よりも薄く形成され、

前記第1の多層構造バッファ領域(5)は前記主半導体領域(4)の平均的に見た格子定数よりも小さい平均的に見た格子定数を有し、

前記第2の多層構造バッファ領域(8a)は、前記主半導体領域(4)と前記第1の多層構造バッファ領域(5)との間の平均的に見た格子定数を有していることを特徴とする半導体ウエーハ。

#### 【請求項8】

基板(2)と、前記基板(2)の一方の主面上に配置され且つ化合物半導体で形成されたバッファ領域(3c)と、前記バッファ領域(3c)の上に配置され且つ化合物半導体で形成された主半導体領域(4)とを有する半導体ウエーハであって、

前記バッファ領域(3c)は、第1の多層構造バッファ領域(5a)と第2の多層構造バッファ領域(8b)とから成り、

前記第1の多層構造バッファ領域(5a)は第1のサブ多層構造バッファ領域(6)と第1の単層構造バッファ領域(7)との交互積層体から成り、

前記第1のサブ多層構造バッファ領域(6)の数は、前記第1の単層構造バッファ領域(7)の数よりも1個多く、前記第1の多層構造バッファ領域(5a)の最も上に前記第1のサブ多層構造バッファ領域(6)が配置され、

前記第1のサブ多層構造バッファ領域(6)は交互に配置された複数の第1及び第2の層(61、62又は62a~62d)を含み、

前記第1の層(61)は前記基板(2)を構成する材料よりも小さい格子定数を有する化合物半導体から成り且つ前記単層構造バッファ領域(7)よりも薄く形成され、

前記第2の層(62)は前記第1の層(61)の格子定数と前記基板(2)の格子定数との間の格子定数を有する化合物半導体から成り且つ前記単層構造バッファ領域(7)よりも薄く形成され、

前記単層構造バッファ領域(7)は前記第1の層(61)の格子定数と前記基板(2)の格子定数との間の格子定数を有する化合物半導体から成り且つ前記第1の層(61)及び前記第2の層(62)よりも厚く形成され、

前記第2の多層構造バッファ領域(8b)は、複数の第2のサブ多層構造バッファ領域(8'、8'')と、該複数の第2のサブ多層構造バッファ領域(8'、8'')の相互間

10

20

30

40

50

に配置された第2の単層構造バッファ領域(90)及び第3のサブ多層構造バッファ領域(91)とを有し、

前記複数の第2のサブ多層構造バッファ領域(8'、8'')は交互に配置された複数の第3及び第4の層(81、82)をそれぞれ含み、

前記第3の層(81)は前記基板(2)を構成する材料よりも小さい格子定数を有する化合物半導体から成り且つ前記前記第2の単層構造バッファ領域(90)よりも薄く形成され、

前記第4の層(82)は前記第3の層(81)の格子定数と前記基板(2)の格子定数との間の格子定数を有する化合物半導体から成り且つ前記第2の単層構造バッファ領域(90)よりも薄く形成され、

10

前記第3のサブ多層構造バッファ領域(91)は、交互に配置された複数の第5及び第6の層(61'、62')を含み、

前記第5の層(61')は前記基板(2)を構成する材料よりも小さい格子定数を有する化合物半導体から成り且つ前記前記第2の単層構造バッファ領域(90)よりも薄く形成され、

前記第6の層(62')は前記第5の層(61')の格子定数と前記基板(2)の格子定数との間の格子定数を有する化合物半導体から成り且つ前記第2の単層構造バッファ領域(90)よりも薄く形成され、

前記第1の多層構造バッファ領域(5a)は前記主半導体領域(4)の平均的に見た格子定数よりも小さい平均的に見た格子定数を有し、

20

前記第2の多層構造バッファ領域(8b)は、前記主半導体領域(4)と前記第1の多層構造バッファ領域(5a)との間の平均的に見た格子定数を有していることを特徴とする半導体ウエーハ。

#### 【請求項9】

前記第1の多層構造バッファ領域に含まれる複数の第2の層(62a~62d)は、前記基板から前記主半導体領域(4)に向かって徐々に増大するように互いに異なる厚み(T1~T4)を有していることを特徴とする請求項1乃至8のいずれか1つに記載の半導体ウエーハ。

#### 【請求項10】

前記第2の多層構造バッファ領域に含まれる複数の第4の層(82a~82d)は、前記第1の多層構造バッファ領域から前記主半導体領域(4)に向かって徐々に増大するように互いに異なる厚み(T11~T14)を有していることを特徴とする請求項1乃至9のいずれか1つに記載の半導体ウエーハ。

30

#### 【請求項11】

前記単層構造バッファ領域(7)と前記第2の層(62又は62a~62d)と前記第4の層(82又は82a~82d)とは互いに同一の窒化物半導体で形成されていることを特徴とする請求項1乃至10のいずれか1つに記載の半導体ウエーハ。

#### 【請求項12】

前記サブ多層構造バッファ領域は5~1000nmの厚さを有し、前記単層構造バッファ領域は100~400nmの厚さを有していることを特徴とする請求項1乃至11のいずれか1つに記載の半導体ウエーハ。

40

#### 【請求項13】

基板(2)と、前記基板(2)の一方の主面上に配置され且つ化合物半導体で形成されたバッファ領域(3又は3a又は3b又は3dc)と、前記バッファ領域の上に配置され且つ化合物半導体で形成された主半導体領域(4)と、前記主半導体領域(4)上に配置された少なくとも第1及び第2の主電極と、前記主半導体領域(4)上に配置され且つ前記第1及び第2の主電極間の電流の流れを制御する機能を有している制御電極と、前記基板の他方の主面に形成され且つ前記第1又は第2の主電極に電氣的にされている補助電極とを備えた半導体素子であって、

前記バッファ領域(3又は3a又は3b又は3dc)は、第1の多層構造バッファ領域(

50

5又は5 a又は5 b)と、該第1の多層構造バッファ領域(5又は5 a又は5 b)の上に配置された第2の多層構造バッファ領域(8又は8 a又は8 b又は8 c)とから成り、

前記第1の多層構造バッファ領域(5又は5 a又は5 b)はサブ多層構造バッファ領域(6)と単層構造バッファ領域(7)との交互積層体から成り、

前記サブ多層構造バッファ領域(6)は交互に配置された複数の第1及び第2の層(6 1、6 2)を含み、

前記第1の層(6 1)は前記基板(2)を構成する材料よりも小さい格子定数を有する化合物半導体から成り且つ前記単層構造バッファ領域(7)よりも薄く形成され、

前記第2の層(6 2)は前記第1の層(6 1)の格子定数と前記基板(2)の格子定数との間の格子定数を有する化合物半導体から成り且つ前記単層構造バッファ領域(7)よりも薄く形成され、

10

前記単層構造バッファ領域(7)は前記第1の層(6 1)の格子定数と前記基板(2)の格子定数との間の格子定数を有する化合物半導体から成り且つ前記第1の層(6 1)及び前記第2の層(6 2)よりも厚く形成され、

前記第2の多層構造バッファ領域(8又は8 a又は8 b又は8 c)は交互に配置された複数の第3及び第4の層(8 1、8 2又は8 2 a~8 2 d)を含み、

前記第3の層(8 1)は前記基板(2)を構成する材料よりも小さい格子定数を有する化合物半導体から成り且つ前記単層構造バッファ領域(7)よりも薄く形成され、

前記第4の層(8 2又は8 2 a~8 2 d)は前記第3の層(8 1)の格子定数と前記基板(2)の格子定数との間の格子定数を有する化合物半導体から成り且つ前記単層構造バッファ領域(7)よりも薄く形成され、

20

前記第1の多層構造バッファ領域(5又は5 a又は5 b)は前記主半導体領域(4)の平均的に見た格子定数よりも小さい平均的に見た格子定数を有し、

前記第2の多層構造バッファ領域(8又は8 a又は8 b又は8 c)は、前記主半導体領域(4)と前記第1の多層構造バッファ領域(5又は5 a又は5 b)との間の平均的に見た格子定数を有していることを特徴とする半導体素子。

【請求項14】

基板(2)の一方の主面上に化合物半導体から成るバッファ領域と、前記バッファ領域の上に配置され且つ化合物半導体で形成された主半導体領域(4)とを有する半導体ウエーハを製造する方法において、

30

前記基板(2)を構成する材料の格子定数よりも小さい格子定数を有する化合物半導体から成る第1の層(6 1)と前記第1の層(6 1)の格子定数と前記基板(2)の格子定数との間の格子定数を有する化合物半導体から成る第2の層(6 2)との交互積層体から成るサブ多層構造バッファ領域(6)を前記基板(2)の一方の主面上に形成する第1の工程と、

前記サブ多層構造バッファ領域(6)の上に、前記第1の層(6 1)の格子定数と前記基板(2)の格子定数との間の格子定数を有する化合物半導体から成る単層構造バッファ領域(7)を前記第2の層(6 2)よりも厚く形成する第2の工程と、

前記第1及び第2の工程と同一の方法で前記サブ多層構造バッファ領域(6)と実質的に同一の構成を有する別のサブ多層構造バッファ領域(6)及び前記単層構造バッファ領域(7)と実質的に同一の構成を有する別の単層構造バッファ領域(7)を繰り返して形成して第1の多層構造バッファ領域(5又は5 a又は5 b)を得る第3の工程と、

40

前記第1の多層構造バッファ領域(5又は5 a又は5 b)の上に、前記基板(2)を構成する材料よりも小さい格子定数を有する化合物半導体から成り且つ前記単層構造バッファ領域(7)よりも薄い第3の層(8 1)と前記第3の層(8 1)の格子定数と前記基板(2)の格子定数との間の格子定数を有する化合物半導体から成り且つ前記単層構造バッファ領域(7)よりも薄い第4の層(8 2)との積層体を含み、且つ平均的に見た格子定数が、前記第1の多層構造バッファ領域(5又は5 a又は5 b)の平均的に見た格子定数よりも大きい第2の多層構造バッファ領域(8又は8 a又は8 b又は8 c)を形成する第4の工程と、

50

前記第2の多層構造バッファ領域(8又は8a又は8b又は8c)の上に化合物半導体から成り且つ平均的に見た格子定数が、前記第1及び第2の多層構造バッファ領域(5又は5a又は5b、8又は8a又は8b又は8c)の平均的に見た格子定数よりも大きい主半導体領域(4)を形成する第5の工程とを有している半導体ウエーハの製造方法。

【発明の詳細な説明】

【技術分野】

【0001】

本発明は、シリコン又はシリコン化合物から成る基板上に窒化物半導体をエピタキシャル成長させた半導体ウエーハ、及びこの半導体ウエーハで形成されたHEMT、MESFET、SBD(ショットキーバリアード)、LED(発光ダイオード)等の半導体素子に関する。

10

【背景技術】

【0002】

シリコン基板上に窒化物半導体をエピタキシャル成長させた半導体ウエーハは、特開2003-59948号公報(特許文献1)等が開示されている。シリコン基板はサファイア基板に比べて低コストであるという特長を有する。しかし、シリコン基板の線膨張係数は約 $4.70 \times 10^{-6} / K$ 、窒化物半導体としてのGaNの線膨張係数は約 $5.59 \times 10^{-6} / K$ であり、両者の間に比較的大きな差がある。なお、GaN以外の窒化物半導体の線膨張係数もシリコン基板の線膨張係数よりも大きい。また、シリコンと窒化物半導体は格子定数が互いに相違する。このため、シリコン基板上に窒化物半導体を形成すると、窒化物半導体に応力が加わり、ここにクラックや転位が発生し易い。この問題を解決するために上記特許文献1の技術では、シリコン基板上に多層構造バッファ領域が設けられ、このバッファ領域の上に半導体素子形成用の窒化物半導体領域がエピタキシャル成長されている。上記多層構造バッファ領域は良好な応力緩和効果を有するので、バッファ領域上の半導体素子形成用の窒化物半導体領域のクラックや転位が減少する。

20

【0003】

しかし、シリコン基板の上に比較的厚いバッファ領域を介して窒化物半導体から成る素子用の主半導体領域を形成すると、半導体ウエーハに反りが生じる。この半導体ウエーハの反りは、窒化物半導体領域の厚みが増大するに従って増大する。また、半導体ウエーハの面積(直径)が増大するに従って反りも増大する。なお、窒化物半導体領域の厚みを増大させることは、半導体素子の縦方向(厚み方向)における耐圧を高めるために要求される。周知のように窒化物半導体領域の厚みが厚いほど窒化物半導体領域の一方の主面と他方の主面との間の耐圧が高くなる。半導体ウエーハの面積(直径)を増大させることは、半導体素子のコストを低減するために要求される。半導体ウエーハの面積(直径)が増大すると、一枚の半導体ウエーハから形成できる半導体素子の個数が多くなり、半導体素子のコストを低減することが可能になる。

30

シリコン基板の上に窒化物半導体を形成する別の方法として、AlGaN層とGaN層とを繰り返し積層した構成をそれぞれ有する第1及び第2の超格子層とこれ等間に配置したGaN層とから成るバッファ領域をシリコン基板の上に設け、このバッファ領域の上に主半導体領域のためのGaN層を設ける方法が非特許文献1が開示されている。また、非特許文献2には特許文献3のAlGaN層とGaN層とから成る超格子層の代わりにAlN層とGaN層とから成る超格子層を設けることが開示されている。

40

非特許文献1及び2の方法を採用すると、主半導体領域のためのGaN層のクラック及び結晶性が改善される。しかし、半導体ウエーハを厚く形成すると反りの問題が発生する。

【特許文献1】特開2003-59948号公報

【非特許文献1】Applied Physics Letters, Volume 75, Number 14, October 4, 1999, S. A. Nikishin, High quality GaN grown on Si(111) by gas source molecular beam epitaxy with ammonia

50

【非特許文献2】Applied Physics Letters, Volume 79, Number 20, November 12, 2001, Eric Feltin, et.al. 「Stree control in GaN grown on Si(111) by metalorganic vapor phase epitaxy」

【発明の開示】

【発明が解決しようとする課題】

【0004】

従って、本発明が解決しようとする課題は、シリコン又はシリコン化合物から成る基板の上に窒化物半導体領域をエピタキシャル成長させた半導体ウエーハに反りが生じることであり、本発明の目的は反りを良好に低減することができる半導体ウエーハ及び半導体素子及びその製造方法を提供することである。

10

【課題を解決するための手段】

【0005】

上記課題を解決するための本発明を図面の参照符号を伴って説明する。なお、特許請求の範囲及びここでの参照符号は、本発明の理解を助けるためのものであって、本発明を限定するものではない。

本発明は、基板(2)と、前記基板(2)の一方の主面上に配置され且つ化合物半導体で形成されたバッファ領域(3又は3a又は3b又は3c又は3d)と、前記バッファ領域(3又は3a又は3b又は3c又は3d)の上に配置され且つ化合物半導体で形成された主半導体領域(4)とを有する半導体ウエーハであって、

前記バッファ領域(3又は3a又は3b又は3c又は3d)は、第1の多層構造バッファ領域(5又は5a又は5b)と、該第1の多層構造バッファ領域(5又は5a又は5b)の上に配置された第2の多層構造バッファ領域(8又は8a又は8b又は8c)とから成り、

20

前記第1の多層構造バッファ領域(5又は5a又は5b)はサブ多層構造バッファ領域(6)と単層構造バッファ領域(7)との交互積層体から成り、

前記サブ多層構造バッファ領域(6)は交互に配置された複数の第1及び第2の層(61、62又は62a~62d)を含み、

前記第1の層(61)は前記基板(2)を構成する材料よりも小さい格子定数を有する化合物半導体から成り且つ前記単層構造バッファ領域(7)よりも薄く形成され、

前記第2の層(62)は前記第1の層(61)の格子定数と前記基板(2)の格子定数との間の格子定数を有する化合物半導体から成り且つ前記単層構造バッファ領域(7)よりも薄く形成され、

30

前記単層構造バッファ領域(7)は前記第1の層(61)の格子定数と前記基板(2)の格子定数との間の格子定数を有する化合物半導体から成り且つ前記第1の層(61)及び前記第2の層(62)よりも厚く形成され、

前記第2の多層構造バッファ領域(8又は8a又は8b又は8c)は交互に配置された複数の第3及び第4の層(81、82又は82a~82d)を含み、

前記第3の層(81)は前記基板(2)を構成する材料よりも小さい格子定数を有する化合物半導体から成り且つ前記単層構造バッファ領域(7)よりも薄く形成され、

前記第4の層(82又は82a~82d)は前記第3の層(81)の格子定数と前記基板(2)の格子定数との間の格子定数を有する化合物半導体から成り且つ前記単層構造バッファ領域(7)よりも薄く形成され、

40

前記第1の多層構造バッファ領域(5又は5a又は5b)は前記主半導体領域(4)の平均的に見た格子定数よりも小さい平均的に見た格子定数を有し、

前記第2の多層構造バッファ領域(8又は8a又は8b又は8c)は、前記主半導体領域(4)と前記第1の多層構造バッファ領域(5又は5a又は5b)との間の平均的に見た格子定数を有していることを特徴とする半導体ウエーハに係わるものである。

【0006】

なお、請求項2に示すように、前記基板(2)はシリコン、シリコン化合物、及びサファイアから選択された1つからなることが望ましい。

50

また、請求項 3 に示すように、前記第 1 の層 ( 6 1 ) はアルミニウムを第 1 の割合で含む窒化物半導体から成り、前記第 2 の層 ( 6 2 ) はアルミニウムの含有割合が前記第 1 の割合よりも小さい第 2 の割合 ( ゼロを含む ) の窒化物半導体から成り、前記単層構造バッファ領域 ( 7 ) はアルミニウムの含有割合が前記第 1 の割合よりも小さい第 3 の割合 ( ゼロを含む ) の窒化物半導体から成り、前記第 3 の層 ( 8 1 ) はアルミニウムを第 4 の割合で含む窒化物半導体から成り、前記第 4 の層 ( 8 2 又は 8 2 a ~ 8 2 d ) はアルミニウムの含有割合が前記第 4 の割合よりも小さい第 5 の割合 ( ゼロを含む ) の窒化物半導体から成ることが望ましい。

また、請求項 4 に示すように、前記第 4 の層 ( 8 2 又は 8 2 a ~ 8 2 d ) は前記第 2 の層 ( 6 2 ) よりも厚く形成されていることが望ましい。

10

また、請求項 5 に示すように、前記主半導体領域 ( 4 ) は平均的に見たアルミニウムの含有割合が前記第 4 の割合よりも小さい第 6 の割合 ( ゼロを含む ) の窒化物半導体から成ることが望ましい。

また、請求項 1 のバッファ領域の変形として、請求項 6 に示すように、前記第 1 の多層構造バッファ領域の前記サブ多層構造バッファ領域 ( 6 ) の数を、前記第 1 の多層構造バッファ領域の前記単層構造バッファ領域 ( 7 ) の数よりも 1 個多くし、前記第 1 の多層構造バッファ領域の最も上に前記サブ多層構造バッファ領域 ( 6 ) を配置し、前記第 2 の多層構造バッファ領域を、前記第 1 の多層構造バッファ領域の最も上の前記サブ多層構造バッファ領域 ( 6 ) の上に直接に配置することができる。

また、請求項 7 に示すように、基板 ( 2 ) と、前記基板 ( 2 ) の一方の主面上に配置され且つ化合物半導体で形成されたバッファ領域 ( 3 b ) と、前記バッファ領域 ( 3 b ) の上に配置され且つ化合物半導体で形成された主半導体領域 ( 4 ) とを有する半導体ウエーハにおいて、

20

前記バッファ領域 ( 3 b ) は、第 1 の多層構造バッファ領域 ( 5 ) と、該第 1 の多層構造バッファ領域 ( 5 ) の上に配置された第 2 の多層構造バッファ領域 ( 8 a ) とから成り、

前記第 1 の多層構造バッファ領域 ( 5 ) はサブ多層構造バッファ領域 ( 6 ) と単層構造バッファ領域 ( 7 ) との交互積層体から成り、

前記サブ多層構造バッファ領域 ( 6 ) は交互に配置された複数の第 1 及び第 2 の層 ( 6 1 、 6 2 ) を含み、

30

前記第 1 の層 ( 6 1 ) は前記基板 ( 2 ) を構成する材料よりも小さい格子定数を有する化合物半導体から成り且つ前記単層構造バッファ領域 ( 7 ) よりも薄く形成され、

前記第 2 の層 ( 6 2 ) は前記第 1 の層 ( 6 1 ) の格子定数と前記基板 ( 2 ) の格子定数との間の格子定数を有する化合物半導体から成り且つ前記単層構造バッファ領域 ( 7 ) よりも薄く形成され、

前記単層構造バッファ領域 ( 7 ) は前記第 1 の層 ( 6 1 ) の格子定数と前記基板 ( 2 ) の格子定数との間の格子定数を有する化合物半導体から成り且つ前記第 1 の層 ( 6 1 ) 及び前記第 2 の層 ( 6 2 ) よりも厚く形成され、

前記第 2 の多層構造バッファ領域 ( 8 a ) は複数の第 2 のサブ多層構造バッファ領域 ( 8 ' 、 8 ' ' ) と該複数の第 2 のサブ多層構造バッファ領域 ( 8 ' 、 8 ' ' ) の相互間に配置された第 2 の単層構造バッファ領域 ( 9 0 ) とから成り、

40

前記複数の第 2 のサブ多層構造バッファ領域 ( 8 ' 、 8 ' ' ) は交互に配置された複数の第 3 及び第 4 の層 ( 8 1 、 8 2 ) をそれぞれ含み、

前記第 3 の層 ( 8 1 ) は前記基板 ( 2 ) を構成する材料よりも小さい格子定数を有する化合物半導体から成り且つ前記前記第 2 の単層構造バッファ領域 ( 9 0 ) よりも薄く形成され、

前記第 4 の層 ( 8 2 ) は前記第 3 の層 ( 8 1 ) の格子定数と前記基板 ( 2 ) の格子定数との間の格子定数を有する化合物半導体から成り且つ前記第 2 の単層構造バッファ領域 ( 9 0 ) よりも薄く形成され、

前記第 1 の多層構造バッファ領域 ( 5 ) は前記主半導体領域 ( 4 ) の平均的に見た格子定

50

数よりも小さい平均的に見た格子定数を有し、

前記第2の多層構造バッファ領域(8a)は、前記主半導体領域(4)と前記第1の多層構造バッファ領域(5)との間の平均的に見た格子定数を有していることが望ましい。

また、請求項8に示すように、基板(2)と、前記基板(2)の一方の主面上に配置され且つ化合物半導体で形成されたバッファ領域(3c)と、前記バッファ領域(3c)の上に配置され且つ化合物半導体で形成された主半導体領域(4)とを有する半導体ウエーハにおいて、

前記バッファ領域(3c)は、第1の多層構造バッファ領域(5a)と第2の多層構造バッファ領域(8b)とから成り、

前記第1の多層構造バッファ領域(5a)は第1のサブ多層構造バッファ領域(6)と第1の単層構造バッファ領域(7)との交互積層体から成り、

前記第1のサブ多層構造バッファ領域(6)の数は、前記第1の単層構造バッファ領域(7)の数よりも1個多く、前記第1の多層構造バッファ領域(5a)の最上上に前記第1のサブ多層構造バッファ領域(6)が配置され、

前記第1のサブ多層構造バッファ領域(6)は交互に配置された複数の第1及び第2の層(61、62又は62a~62d)を含み、

前記第1の層(61)は前記基板(2)を構成する材料よりも小さい格子定数を有する化合物半導体から成り且つ前記単層構造バッファ領域(7)よりも薄く形成され、

前記第2の層(62)は前記第1の層(61)の格子定数と前記基板(2)の格子定数との間の格子定数を有する化合物半導体から成り且つ前記単層構造バッファ領域(7)よりも薄く形成され、

前記単層構造バッファ領域(7)は前記第1の層(61)の格子定数と前記基板(2)の格子定数との間の格子定数を有する化合物半導体から成り且つ前記第1の層(61)及び前記第2の層(62)よりも厚く形成され、

前記第2の多層構造バッファ領域(8b)は、複数の第2のサブ多層構造バッファ領域(8'、8'')と、該複数の第2のサブ多層構造バッファ領域(8'、8'')の相互間に配置された第2の単層構造バッファ領域(90)及び第3のサブ多層構造バッファ領域(91)とを有し、

前記複数の第2のサブ多層構造バッファ領域(8'、8'')は交互に配置された複数の第3及び第4の層(81、82)をそれぞれ含み、

前記第3の層(81)は前記基板(2)を構成する材料よりも小さい格子定数を有する化合物半導体から成り且つ前記前記第2の単層構造バッファ領域(90)よりも薄く形成され、

前記第4の層(82)は前記第3の層(81)の格子定数と前記基板(2)の格子定数との間の格子定数を有する化合物半導体から成り且つ前記第2の単層構造バッファ領域(90)よりも薄く形成され、

前記第3のサブ多層構造バッファ領域(91)は、交互に配置された複数の第5及び第6の層(61', 62')を含み、

前記第5の層(61')は前記基板(2)を構成する材料よりも小さい格子定数を有する化合物半導体から成り且つ前記前記第2の単層構造バッファ領域(90)よりも薄く形成され、

前記第6の層(62')は前記第5の層(61')の格子定数と前記基板(2)の格子定数との間の格子定数を有する化合物半導体から成り且つ前記第2の単層構造バッファ領域(90)よりも薄く形成され、

前記第1の多層構造バッファ領域(5a)は前記主半導体領域(4)の平均的に見た格子定数よりも小さい平均的に見た格子定数を有し、

前記第2の多層構造バッファ領域(8b)は、前記主半導体領域(4)と前記第1の多層構造バッファ領域(5a)との間の平均的に見た格子定数を有していることが望ましい。

また、請求項9に示すように、前記第1の多層構造バッファ領域に含まれる複数の第2の層(62a~62d)は、前記基板から前記主半導体領域(4)に向かって徐々に増大す

10

20

30

40

50

るように互いに異なる厚み(T1~T4)を有していることが望ましい。

また、請求項10に示すように、前記第2の多層構造バッファ領域に含まれる複数の第4の層(82a~82d)は、前記第1の多層構造バッファ領域から前記主半導体領域(4)に向かって徐々に増大するように互いに異なる厚み(T11~T14)を有していることが望ましい。

また、請求項11に示すように、前記単層構造バッファ領域(7)と前記第2の層(62又は62a~62d)と前記第4の層(82又は82a~82d)とは互いに同一の窒化物半導体で形成されていることが望ましい。

また、請求項12に示すように、前記サブ多層構造バッファ領域は5~1000nmの厚さを有し、前記単層構造バッファ領域は100~400nmの厚さを有していることが望ましい。

また、請求項13に示すように、基板(2)と、前記基板(2)の一方の主面上に配置され且つ化合物半導体で形成されたバッファ領域(3又は3a又は3b又は3dc)と、前記バッファ領域の上に配置され且つ化合物半導体で形成された主半導体領域(4)と、前記主半導体領域(4)上に配置された少なくとも第1及び第2の主電極と、前記主半導体領域(4)上に配置され且つ前記第1及び第2の主電極間の電流の流れを制御する機能を有している制御電極と、前記基板の他方の主面に形成され且つ前記第1又は第2の主電極に電氣的にされている補助電極とを備えた半導体素子において、

前記バッファ領域(3又は3a又は3b又は3dc)は、第1の多層構造バッファ領域(5又は5a又は5b)と、該第1の多層構造バッファ領域(5又は5a又は5b)の上に配置された第2の多層構造バッファ領域(8又は8a又は8b又は8c)とから成り、

前記第1の多層構造バッファ領域(5又は5a又は5b)はサブ多層構造バッファ領域(6)と単層構造バッファ領域(7)との交互積層体から成り、

前記サブ多層構造バッファ領域(6)は交互に配置された複数の第1及び第2の層(61、62)を含み、

前記第1の層(61)は前記基板(2)を構成する材料よりも小さい格子定数を有する化合物半導体から成り且つ前記単層構造バッファ領域(7)よりも薄く形成され、

前記第2の層(62)は前記第1の層(61)の格子定数と前記基板(2)の格子定数との間の格子定数を有する化合物半導体から成り且つ前記単層構造バッファ領域(7)よりも薄く形成され、

前記単層構造バッファ領域(7)は前記第1の層(61)の格子定数と前記基板(2)の格子定数との間の格子定数を有する化合物半導体から成り且つ前記第1の層(61)及び前記第2の層(62)よりも厚く形成され、

前記第2の多層構造バッファ領域(8又は8a又は8b又は8c)は交互に配置された複数の第3及び第4の層(81、82又は82a~82d)を含み、

前記第3の層(81)は前記基板(2)を構成する材料よりも小さい格子定数を有する化合物半導体から成り且つ前記単層構造バッファ領域(7)よりも薄く形成され、

前記第4の層(82又は82a~82d)は前記第3の層(81)の格子定数と前記基板(2)の格子定数との間の格子定数を有する化合物半導体から成り且つ前記単層構造バッファ領域(7)よりも薄く形成され、

前記第1の多層構造バッファ領域(5又は5a又は5b)は前記主半導体領域(4)の平均的に見た格子定数よりも小さい平均的に見た格子定数を有し、

前記第2の多層構造バッファ領域(8又は8a又は8b又は8c)は、前記主半導体領域(4)と前記第1の多層構造バッファ領域(5又は5a又は5b)との間の平均的に見た格子定数を有していることことが望ましい。

また、請求項14に示すように、基板(2)の一方の主面上に化合物半導体から成るバッファ領域と、前記バッファ領域の上に配置され且つ化合物半導体で形成された主半導体領域(4)とを有する半導体ウエーハを、

前記基板(2)を構成する材料の格子定数よりも小さい格子定数を有する化合物半導体から成る第1の層(61)と前記第1の層(61)の格子定数と前記基板(2)の格子定数

10

20

30

40

50

との間の格子定数を有する化合物半導体から成る第2の層(62)との交互積層体から成るサブ多層構造バッファ領域(6)を前記基板(2)の一方の主面上に形成する第1の工程と、

前記サブ多層構造バッファ領域(6)の上に、前記第1の層(61)の格子定数と前記基板(2)の格子定数との間の格子定数を有する化合物半導体から成る単層構造バッファ領域(7)を前記第2の層(62)よりも厚く形成する第2の工程と、

前記第1及び第2の工程と同一の方法で前記サブ多層構造バッファ領域(6)と実質的に同一の構成を有する別のサブ多層構造バッファ領域(6)及び前記単層構造バッファ領域(7)と実質的に同一の構成を有する別の単層構造バッファ領域(7)を繰り返して形成して第1の多層構造バッファ領域(5又は5a又は5b)を得る第3の工程と、

前記第1の多層構造バッファ領域(5又は5a又は5b)の上に、前記基板(2)を構成する材料よりも小さい格子定数を有する化合物半導体から成り且つ前記単層構造バッファ領域(7)よりも薄い第3の層(81)と前記第3の層(81)の格子定数と前記基板(2)の格子定数との間の格子定数を有する化合物半導体から成り且つ前記単層構造バッファ領域(7)よりも薄い第4の層(82)との積層体を含み、且つ平均的に見た格子定数が、前記第1の多層構造バッファ領域(5又は5a又は5b)の平均的に見た格子定数よりも大きい第2の多層構造バッファ領域(8又は8a又は8b又は8c)を形成する第4の工程と、

前記第2の多層構造バッファ領域(8又は8a又は8b又は8c)の上に化合物半導体から成り且つ平均的に見た格子定数が、前記第1及び第2の多層構造バッファ領域(5又は5a又は5b、8又は8a又は8b又は8c)の平均的に見た格子定数よりも大きい主半導体領域(4)を形成する第5の工程とを有して製造することが望ましい。

【発明の効果】

【0007】

本発明は次の効果を有する。

(1) 第1の多層構造バッファ領域(5又は5a又は5b)の他に、平均的に見た格子定数が第1の多層構造バッファ領域(5又は5a又は5b)よりも大きい第2の多層構造バッファ領域(8又は8a又は8b又は8c)を設けることにより、半導体ウエーハの反りが改善されるのみでなく、バッファ領域(3又は3a)及び主半導体領域(4)を厚くすることができる。これにより、半導体ウエーハの厚み方向の耐圧を向上させることが可能になる。

(2) 第2の多層構造バッファ領域(8又は8a又は8b又は8c)は、主半導体領域(4)における圧縮応力と第1の多層構造バッファ領域(5又は5a又は5b)における引張応力との相殺を助ける。即ち、第2の多層構造バッファ領域(8又は8a又は8b又は8c)の第3及び第4の層(81, 82)の積層数を調整することによって、主半導体領域(4)における圧縮応力とバッファ領域(3又は3a又は3b又は3dc)における引張応力との相殺が良好に達成され、半導体ウエーハの反りが低減する。

(3) 第2の多層構造バッファ領域(8又は8a又は8b又は8c)の平均的に見た格子定数は第1の多層構造バッファ領域(5又は5a又は5b)よりも大きい。このため、第2の多層構造バッファ領域(8又は8a又は8b又は8c)の引張応力が第1の多層構造バッファ領域5よりも小さくなり、バッファ領域の厚みの増大に伴う反りの増大の傾きが小さくなる。これにより、第2の多層構造バッファ領域(8又は8a又は8b又は8c)を形成した後における反りの最大値が小さくなり、主半導体領域(4)における転位が低減する。また、量産時において、半導体ウエーハの反りのバラツキが小さくなる。

(4) 第2の多層構造バッファ領域(8又は8a又は8b又は8c)を設けることにより、主半導体領域4を厚く形成することが可能になり、耐圧を高めることができる。また、所望厚みにおける反りのバラツキを小さくすることができる。

(5) 第1の多層構造バッファ領域(5又は5a又は5b)におけるサブ多層構造バッファ領域(6)は、比較的格子定数の小さい第1の層(61)を有しているので巨視的に見て引張応力(伸張性歪力)を発生する。また、サブ多層構造バッファ領域(6)の相互間

10

20

30

40

50

に配置された単層構造バッファ領域(7)は、第1の層(61)よりも大きい格子定数を有しているため、圧縮応力(圧縮性歪力)を発生する。従って、サブ多層構造バッファ領域(6)の引張応力を単層構造バッファ領域(7)の圧縮応力である程度打ち消すことができ、第1の多層構造バッファ領域(5又は5a又は5b)の引張応力を低減することができ、第1の多層構造バッファ領域(5又は5a又は5b)を比較的厚く形成することができる。

(6)第1の多層構造バッファ領域(5又は5a又は5b)の中に単層構造バッファ領域(7)を設けるので、第1の多層構造バッファ領域(5又は5a又は5b)における応力の調整を細かく行うことができる。

(7)複数のサブ多層構造バッファ領域(6)のそれぞれが比較的薄い第1及び第2の層(61, 62)を交互に積層した構造であり、且つ第2の多層構造バッファ領域(8又は8a又は8b又は8c)は比較的薄い第3及び第4の層(81, 82)を交互に積層した構造であるため、ただ1つの層で構成するバッファ領域に比べてクラックを抑制でき、且つバッファ領域を厚く形成することができる。

【発明を実施するための最良の形態】

【0008】

次に、図面を参照して本発明の実施形態を説明する。

【実施例1】

【0009】

本発明の実施例1に従う半導体素子としての高電子移動度トランジスタ即ちHEMT (High Electron Mobility Transistor)を形成するための半導体ウエーハ1は、図1に概略的に示すようにシリコン基板2と、この基板2の一方の主面上に配置され且つ窒化物半導体で形成されたバッファ領域3と、バッファ領域3の上に配置され且つ窒化物半導体で形成された半導体素子形成用の主半導体領域4とを有する。この半導体ウエーハ1は複数個のHEMTを形成できる面積を有する。

【0010】

基板2は例えば350~1200 $\mu\text{m}$ の厚みを有し且つバッファ領域3及び主半導体領域4よりも大きい格子定数(例えば0.543nm)を有し且つバッファ領域3の線膨張係数(例えば $5.60 \times 10^{-6}/\text{K}$ )及び主半導体領域4の線膨張係数(例えば $5.59 \times 10^{-6}/\text{K}$ )よりも小さい線膨張係数(例えば $4.70 \times 10^{-6}/\text{K}$ )を有する単結晶シリコンから成り、バッファ領域3及び主半導体領域4の成長基板としての機能と機械的支持基板としての機能を有し、更に主半導体領域4に形成される半導体素子の動作を安定化させるための補助電極を支持する機能を有する。なお、このシリコン基板2に、必要に応じてボロン(B)等の3族元素又はリン(P)等の5族元素からなる導電型決定不純物を添加することができる。また、基板2をSiC等のシリコン化合物で形成することもできる。

【0011】

図1の半導体ウエーハ1をその厚み方向に拡大してバッファ領域3及び主半導体領域4を詳しく示した半導体ウエーハ1が図2に示され、図3に図2のバッファ領域3の一部を更に拡大したものが示されている。なお、図1及び図2における基板2及び各領域3, 4の厚み、及び図3における多層構造バッファ領域の厚みは説明的に示されており、実際の厚みとは異なる。

【0012】

バッファ領域3は、図2に示すように厚みTaの第1の多層構造バッファ領域5とこれよりも薄い厚みTbの第2の多層構造バッファ領域8を有する。第1の多層構造バッファ領域5は、図2において斜線を付して示すサブ(下位又は副)多層構造バッファ領域6と単層構造バッファ領域7との交互積層体から成る。図2では図示の都合上第1の多層構造バッファ領域5の一部が省かれ、6個のサブ多層構造バッファ領域6と6個の第1の単層構造バッファ領域7とのペアを8個積層することによって第1の多層構造バッファ領

10

20

30

40

50

域 5 が構成されている。なお、第 1 の多層構造バッファ領域 5 におけるサブ多層構造バッファ領域 6 と第 1 の単層構造バッファ領域 7 とのペアの数を任意に変えることができる。しかし、第 1 の多層構造バッファ領域 5 におけるサブ多層構造バッファ領域 6 と第 1 の単層構造バッファ領域 7 とのペアの数を、好ましくは 4 ~ 50 にすることが望ましい。このペア数が 4 よりも少ない場合、及び 50 よりも大きい場合には半導体ウエーハの反り及び主半導体領域 4 の結晶性の改善効果が低下する。

図 2 においては、各サブ多層構造バッファ領域 6 が互いに同一の厚さ  $T_d$  を有し且つ同一の構成を有するが、本発明の目的を達成できる範囲で厚さ及び構成を互いに相違させることもできる。また、図 2 においては、各単層構造バッファ領域 7 が互いに同一の厚さ  $T_e$  を有し且つ同一の構成を有するが、本発明の目的を達成できる範囲で厚さ及び構成を互いに相違させることもできる。

10

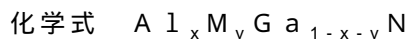
#### 【0013】

図 2 の 1 つのサブ多層構造バッファ領域 6 が図 3 に更に詳しく示されている。図 3 から明らかのようにサブ多層構造バッファ領域 6 は、第 1 及び第 2 のサブレイヤーと呼ぶこともできる第 1 及び第 2 の層 61、62 の交互積層体から成る。なお、サブ多層構造バッファ領域 6 を超格子バッファとなるように形成することもできる。図 3 では 1 つのサブ多層構造バッファ領域 6 が第 1 の層 61 と第 2 の層 62 とのペアを 4 つ積層することによって形成されているが、このペア数を任意に変えることができる。しかし、1 つのサブ多層構造バッファ領域 6 における第 1 の層 61 と第 2 の層 62 とのペアを 4 ~ 50 にすることが望ましい。サブ多層構造バッファ領域 6 の厚み  $T_d$  は、好ましくは 5 ~ 1000 nm、より好ましくは 20 ~ 400 nm である。

20

#### 【0014】

サブ多層構造バッファ領域 6 の第 1 の層 61 はアルミニウムを第 1 の割合で含む窒化物半導体から成り、例えば、



ここで、前記 M は、In (インジウム) と B (ボロン) とから選択された少なくとも 1 種の元素、

$$\begin{aligned} \text{前記 } x \text{ 及び } y \text{ は、} & 0 < x < 1、 \\ & 0 < y < 1、 \\ & x + y < 1 \end{aligned}$$

30

を満足する数値、

で示される窒化物半導体材料から成る。即ち、第 1 の層 61 は、例えば AlN (窒化アルミニウム)、AlInN (窒化インジウム アルミニウム)、AlGaInN (窒化ガリウム アルミニウム) 及び AlInN (窒化ガリウム インジウム アルミニウム) から選択された窒化半導体材料から成る。

第 1 の層 61 の厚さ  $T_f$  は 1 ~ 20 nm であることが望ましい。第 1 の層 61 の厚さ  $T_f$  が 1 nm より薄い場合、及び 20 nm より厚い場合には、半導体ウエーハの反り及び主半導体領域 4 の結晶性の改善効果が低下する。本実施例では第 1 の層 61 が AlN から成り、この厚さ  $T_f$  は 5 nm に設定されている。

図 3 では全部の第 1 の層 61 が同一の材料 (AlN) で形成されているが、複数の第 1 の層 61 を互いに異なる材料で形成することができる。また、図 3 では全部の第 1 の層 61 が同一の厚みに形成されているが、複数の第 1 の層 61 を互いに異なる厚みに形成することができる。

40

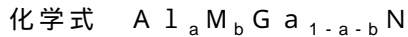
AlN から成る第 1 の層 61 の結晶軸 a 及び c の格子定数はシリコンから成る基板 2 の格子定数よりも小さい値 (例えば a 軸で 0.311 nm、c 軸で 0.498 nm) である。また、第 1 の層 61 の線膨張係数は基板 2 の線膨張係数よりも大きい値 (例えば  $5.64 \times 10^{-6} / \text{K}$ ) である。

なお、第 1 の層 61 に必要に応じて n 型又は p 型の導電型決定不純物をドーピングすることができる。

#### 【0015】

50

第1の層61の上に配置された第2の層62は、アルミニウムの含有割合が第2の割合（ゼロを含む）の窒化物半導体からなり、例えば、



ここで、前記MはIn（インジウム）とB（ボロン）とから選択された少なくとも1種の元素、

$$\begin{aligned} \text{前記 } a \text{ 及び } b \text{ は、} & \quad 0 \leq a \leq 1、 \\ & \quad 0 \leq b < 1、 \\ & \quad a + b \leq 1 \\ & \quad a < x \end{aligned}$$

を満足させる数値、

で示される窒化物半導体材料から成る。即ち、第2の層62は、例えばGaN（窒化ガリウム）、InGaN（窒化ガリウム インジウム）、AlInN（窒化インジウム アルミニウム）、AlGaN（窒化ガリウム アルミニウム）及びAlInGaN（窒化ガリウム インジウム アルミニウム）から選択された窒化半導体材料から成る。上記の化学式から明らかなように第2の層62はAl（アルミニウム）を含んでも良いし、含まなくとも良い。第2の層62にAl（アルミニウム）を含める場合には、第1の層61のAl（アルミニウム）の割合よりも小さい第2の割合とする。本発明においてAlの第2の割合はゼロを含むものとして定義されている。

第2の層62の厚みTgは、好ましくは1～10nmであり、より好ましくは3～7nmである。第2の層62の厚みTgが1よりも薄い場合、及び10nmよりも厚い場合、半導体ウエーハの反り及び主半導体領域4の結晶性の改善効果が低下する。本実施例では第2の層62がGaNから成り、この厚さTgは3.5nmに設定されている。第2の層62の厚みTgは、好ましくは第1の層61の厚みTfよりも薄く決定される。

なお、第1及び第2の層61、62を超格子バッファを構成するように形成することができる。

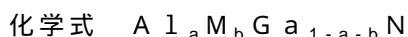
また、図3では全部の第2の層62が同一の材料で形成されているが、本発明の効果を得ることができる範囲内で、複数の第2の層62を互いに異なる材料で形成することができる。また、図3では全部の第2の層62が同一の厚みに形成されているが、本発明の効果を得ることができる範囲内で、複数の第2の層62を互いに異なる厚みに形成することができる。

第2の層62は、Al（アルミニウム）を含まないか、又は第1の層61の第1の割合よりも少ない第2の割合で含む。従って、GaNからなる第2の層62の結晶軸a及びcの格子定数は、第1の層61の格子定数よりも大きく且つ基板2の格子定数よりも小さい値（例えばa軸で0.318nm、c軸で0.518nm）である。また、第2の層62の線膨張係数は基板2の線膨張係数よりも大きい値（例えば $5.59 \times 10^{-6} / \text{K}$ ）である。

第2の層62に必要な応じてn型又はp型の導電型決定不純物をドーピングすることができる。

#### 【0016】

単層構造バッファ領域7は、アルミニウムの含有割合が第3の割合（ゼロを含む）の窒化物半導体からなり、例えば、



ここで、前記MはIn（インジウム）とB（ボロン）とから選択された少なくとも1種の元素、

$$\begin{aligned} \text{前記 } a \text{ 及び } b \text{ は、} & \quad 0 \leq a \leq 1、 \\ & \quad 0 \leq b < 1、 \\ & \quad a + b \leq 1 \\ & \quad a < x \end{aligned}$$

を満足させる数値、

で示される窒化物半導体材料からなる。

10

20

30

40

50

上記化学式から明らかなように、この単層構造バッファ領域7は、アルミニウムを含んでも良いし、含まなくとも良い。単層構造バッファ領域7がアルミニウムを含む場合には、第1の層61のアルミニウムの第1の割合よりも小さく且つサブ多層構造バッファ領域6の平均的(又は巨視的)に見たA1の含有割合よりも小さい第3の割合とする。なお、本発明においてA1の第3の割合はゼロを含むものとして定義されている。

単層構造バッファ領域7のアルミニウムの含有割合が第1の層61よりも小さいので、単層構造バッファ領域7の結晶軸a及びcの格子定数は、第1の層61の格子定数及びサブ多層構造バッファ領域6の平均的(又は巨視的)に見た格子定数よりも大きく且つ基板2の格子定数よりも小さい。例えば単層構造バッファ領域7がGaNから成る場合には、この格子定数は、a軸で $0.318\text{ nm}$ 、c軸で $0.518\text{ nm}$ である。また、単層構造バッファ領域7の線膨張係数は基板2の線膨張係数よりも大きい値(例えば $5.59 \times 10^{-6} / \text{K}$ )である。

第1の単層構造バッファ領域7に必要な応じてn型又はp型の導電型決定不純物をドーピングすることができる。

製造工程を簡略化するために単層構造バッファ領域7を第2の層62と同一の半導体材料(例えばGaN)で形成することが望ましい。

単層構造バッファ領域7がサブ多層構造バッファ領域6の第2の層62と同一の半導体材料である場合には、単層構造バッファ領域7がサブ多層構造バッファ領域6の最も上の第2の層62に連続的に形成される。このため、サブ多層構造バッファ領域6の最も上の第2の層62と単層構造バッファ領域7との境界は実質的に存在しない。従って、サブ多層構造バッファ領域6の最も上の第2の層62を単層構造バッファ領域7に含めて示すこともできる。このようにサブ多層構造バッファ領域6の最も上の第2の層62を単層構造バッファ領域7に含めて示す場合には、サブ多層構造バッファ領域6に含まれる第1の層61の合計は第2の層62の合計よりも1つ多くなる。

単層構造バッファ領域7の厚み $T_e$ は、第2の層62の厚み $T_g$ よりも厚い好ましくは $20 \sim 400\text{ nm}$ 、より好ましくは $100 \sim 400\text{ nm}$ に決定される。単層構造バッファ領域7の厚さ $20\text{ nm}$ よりも薄い場合、及び $400\text{ nm}$ よりも厚い場合には、半導体ウエーハの反り及び主半導体領域4の結晶性の改善効果が低下する。本実施例では単層構造バッファ領域7がGaNから成り、この厚さ $T_e$ は $200\text{ nm}$ に設定されている。

なお、図2では全部の単層構造バッファ領域7が同一の材料で形成されているが、本発明の効果を得ることができる範囲内で、複数の単層構造バッファ領域7を互いに異なる材料で形成することができる。また、図2では全部の単層構造バッファ領域7が同一の厚みに形成されているが、本発明の効果を得ることができる範囲内で、複数の単層構造バッファ領域7を互いに異なる厚みに形成することができる。

#### 【0017】

第2の多層構造バッファ領域8は、本発明に従って主半導体領域4に生じる応力を緩和するためのものであり、図3に示すように第3及び第4のサブレイヤーと呼ぶこともできる第3及び第4の層81、82の交互積層体から成る。この第2の多層構造バッファ領域8は、平均的又は巨視的に見たアルミニウムの含有率が第1の多層構造バッファ領域5よりも小さく且つ主半導体領域4と第1の多層構造バッファ領域5との間の値を有し、且つ平均的又は巨視的に見た格子定数が第1の多層構造バッファ領域5よりも大きく且つ主半導体領域4と第1の多層構造バッファ領域5との間の値を有するように形成されている。

ここで、第2の多層構造バッファ領域8の平均的又は巨視的に見たアルミニウムの含有率とは、第2の多層構造バッファ領域8の全重量に対する第2の多層構造バッファ領域8に含まれるA1の全重量の割合である。また、第1の多層構造バッファ領域5の平均的又は巨視的に見たアルミニウムの含有率とは、第1の多層構造バッファ領域5の全重量に対する第1の多層構造バッファ領域5に含まれるA1の全重量の割合である。また、第2の多層構造バッファ領域8の平均的又は巨視的に見た格子定数とは、第2の多層構造バッファ領域8の第3及び第4の層81、82の各格子定数( $C_3$ 、 $C_4$ )に各層の厚み( $T_h$ 、 $T_i$ )を乗算した値( $C_3 \times T_h$ 、 $C_4 \times T_i$ )をそれぞれ求め、この乗算で得られた各

10

20

30

40

50

値の合計値  $\{m(C3 \times Th) + n(C4 \times Ti)\}$  を求め、この合計値を第2の多層構造バッファ領域8の全体の厚み  $(Tb)$  で除算した値に相当する。なお、 $m$  は第3の層81の数、 $n$  は第4の層82の数を示す。また、第1の多層構造バッファ領域5の平均的又は巨視的に見た格子定数とは、サブ多層構造バッファ領域6の第1及び第2の層61、62並びに単層構造バッファ領域7の各格子定数  $(C1, C2, C5)$  に各層の厚み  $(Tf, Tg, Te)$  を乗算した値  $(C1 \times Tf, C2 \times Tg, C5 \times Te)$  をそれぞれ求め、この乗算で得られた各値の合計値  $\{a(C1 \times Tf) + b(C2 \times Tg) + c(C5 \times Te)\}$  を求め、この合計値を第1の多層構造バッファ領域5の全体の厚み  $(Ta)$  で除算した値に相当する。なお、 $a$  は第1の層61の数、 $b$  は第2の層62の数、 $c$  は単層構造バッファ領域7の数を示す。また、主半導体領域4の平均的又は巨視的に見たアルミニウムの含有率、及び平均的又は巨視的に見た格子定数も、第1及び第2の多層構造バッファ領域5、8におけるこれらと同様に定義されている。

10

#### 【0018】

図3には図示を簡略化するために第2の多層構造バッファ領域8が第3の層81と第2の層82とのペアを5つ積層することによって示されているが、実際には20ペアの積層によって形成されている。なお、第3及び第4の層81、82のペア数を任意に変えることが可能である。しかし、第3及び第4の層81、82のペア数を3~50にすることが望ましい。このペア数が3より少ない場合、及び50よりも多い場合には、半導体ウエーハの反り及び主半導体領域4の結晶性の改善効果が低下する。

第2の多層構造バッファ領域8の厚み  $Tb$  の好ましい値は5~1000nm、より好ましい値は20~400nmである。

20

なお、この第2の多層構造バッファ領域8を超格子バッファとして機能する様に構成することもできる。

#### 【0019】

第2の多層構造バッファ領域8の第3の層81はアルミニウムを第4の割合で含む窒化物半導体から成り、例えば、



ここで、前記  $M$  は、 $In$  (インジウム) と  $B$  (ボロン) とから選択された少なくとも1種の元素、

$$\begin{aligned} \text{前記 } x' \text{ 及び } y' \text{ は、} & 0 < x' < 1, \\ & 0 < y' < 1, \\ & x' + y' < 1 \\ & x' < x \end{aligned}$$

30

を満足する数値、

で示される窒化物半導体材料から成る。即ち、第3の層81は、例えば、 $AlN$  (窒化アルミニウム)、 $AlInN$  (窒化インジウム アルミニウム)、 $AlGaN$  (窒化ガリウム アルミニウム) 及び  $AlInGaN$  (窒化ガリウム インジウム アルミニウム) から選択された窒化半導体材料から成る。

上記化学式から明らかなように、前記  $x'$  に相当する第3の層81におけるアルミニウムの含有割合 (第4の割合) を、サブ多層構造バッファ領域6の第1の層61におけるアルミニウムの含有割合 (前記  $x$  に相当する第1の割合) と同一にすることができる。しかし、既に説明したように平均的又は巨視的に見たアルミニウムの含有率がサブ多層構造バッファ領域6よりも小さく、且つ平均的又は巨視的に見た格子定数がサブ多層構造バッファ領域6よりも大きくなるように第2の多層構造バッファ領域8を形成することが要求される。第2の多層構造バッファ領域8の第3の層81におけるアルミニウムの含有割合 (第4の割合) が、サブ多層構造バッファ領域6の第1の層61におけるアルミニウムの含有割合 (前記  $x$  に相当する第1の割合) と同一であっても、第2の多層構造バッファ領域8の厚み  $Tb$  に対する第3の層81の厚み  $Th$  の合計の割合  $(m \times Th / Tb)$  がサブ多層構造バッファ領域6の厚み  $Td$  に対する第1の層61の厚み  $Tf$  の合計の割合  $(a \times Tf / Td)$  よりも小さい場合には、第2の多層構造バッファ領域8の平均的に見たアルミニ

40

50

ウムの含有割合はサブ多層構造バッファ領域6の平均的に見たアルミニウムの含有割合よりも小さくなる。

第3の層81の厚さ $T_h$ は単層構造バッファ領域7よりも薄い例えば1~20nmであることが望ましい。この実施例では、厚さ5nmのAlNで第3の層81が形成されている。図3では全部の第3の層81が同一の材料で形成されているが、本発明の効果を得ることができる範囲内で、複数の第3の層81を互いに異なる材料で形成することができる。また、図3では全部の第3の層81が同一の厚みに形成されているが、本発明の効果を得ることができる範囲内で、複数の第3の層81を互いに異なる厚みに形成することができる。また、第3の層81に必要な応じてn型又はp型の導電型決定不純物をドーピングすることができる。

10

#### 【0020】

第3の層81の上に配置された第4の層82は、アルミニウムの含有割合が第5の割合(ゼロを含む)の窒化物半導体からなり、例えば、

化学式  $Al_a M_b Ga_{1-a-b} N$

ここで、前記MはIn(インジウム)とB(ボロン)とから選択された少なくとも1種の元素、

$$\begin{aligned} \text{前記 } a \text{ 及び } b \text{ は、} & \quad 0 < a' < 1、 \\ & \quad 0 < b' < 1、 \\ & \quad a' + b' < 1 \\ & \quad a' < x' \end{aligned}$$

20

を満足させる数値、

で示される窒化物半導体材料から成る。即ち、第4の層82は、例えばGaN(窒化ガリウム)、InGaN(窒化ガリウム インジウム)、AlInN(窒化インジウム アルミニウム)、AlGaN(窒化ガリウム アルミニウム)及びAlInGaN(窒化ガリウム インジウム アルミニウム)から選択された窒化半導体材料から成る。

上記の化学式から明らかなように第4の層82はAl(アルミニウム)を含んでも良いし、含まなくとも良い。第4の層82にAl(アルミニウム)を含める場合には、第3の層81のAl(アルミニウム)の割合よりも小さい第5の割合とする。本発明においてAlの第5の割合はゼロを含むものとして定義されている。なお、第4の層82にAl(アルミニウム)を含める場合には、第2の層62のAl(アルミニウム)の割合と同一又はこれよりも少ないことが望ましい。

30

第4の層82は、Al(アルミニウム)を含まないか、又は第3の層81の第4の割合よりも少ない第5の割合で含む。従って、第4の層82の結晶軸a及びcの格子定数は、第3の層81の格子定数よりも大きく且つ基板2の格子定数よりも小さい。第4の層82がGaNの場合には、この格子定数はa軸で0.318nm、c軸で0.518nmである。第2の多層構造バッファ領域8の平均的又は巨視的に見た格子定数は、第1の多層構造バッファ領域5よりも主半導体領域4の平均的又は巨視的に見た格子定数に近い。また、第4の層82の線膨張係数は基板2の線膨張係数よりも大きい値(例えば $5.59 \times 10^{-6} / K$ )である。

第2の多層構造バッファ領域8の第4の層82の厚み $T_i$ は単層構造バッファ領域7よりも薄い1~50nmであることが望ましい。本発明に従って第2の多層構造バッファ領域8を、平均的又は巨視的に見たアルミニウムの含有率が第1の多層構造バッファ領域5よりの小さく、且つ平均的又は巨視的に見た格子定数が第1の多層構造バッファ領域5よりも大きくなるように形成するために、第2の多層構造バッファ領域8の第4の層82の厚み $T_i$ を、第1の多層構造バッファ領域6の第2の層62の厚み $T_g$ よりも厚くすることが望ましい。

40

なお、第2の多層構造バッファ領域8の第3及び第4の層81、82を超格子バッファを構成するように形成することが望ましい。また、図3では全部の第4の層82が同一の材料で形成されているが、本発明の効果を得ることができる範囲内で、複数の第4の層82を互いに異なる材料で形成することができる。また、図3では全部の第4の層82が同一

50

の厚みに形成されているが、本発明の効果を得ることができる範囲内で、複数の第4の層82を互いに異なる厚みに形成することができる。また、第4の層82に必要な応じてn型又はp型の導電型決定不純物をドーピングすることができる。

#### 【0021】

図1の実施例1に従う主半導体領域4は、HEMTを形成するために不純物非ドーピングのGaNから成る電子走行層41と、不純物非ドーピングの $Al_{0.2}Ga_{0.8}N$ から成る電子供給層42とを有している。なお、電子供給層42にn型不純物をドーピングすることもできる。また、電子供給層42のAlの割合を任意に変えることができる。バッファ領域3の上に配置された電子走行層41はチャンネル層とも呼ぶことができるものであり、例えば、1800nm(1.8 $\mu$ m)の厚みを有する。

10

この実施例では、電子走行層41が第2の多層構造バッファ領域8の第4の層82と同一のGaNから成るので、第2の多層構造バッファ領域8の最も上の第4の層82と電子走行層41との境界は実質的に存在しない。従って、第2の多層構造バッファ領域8の最も上の第4の層82を電子走行層41の一部として示すこともできる。この場合には、第2の多層構造バッファ領域8における第4の層82の合計が第3の層81の合計よりも1つ少なくなる。

電子走行層41の上に配置された電子供給層42は電子走行層41とのヘテロ接合に基づくピエゾ分極によって電子走行層41と電子供給層42との界面近傍に周知の2次元電子ガス層を形成させるものであって、例えば30nmの厚みを有する。

Alを含む電子供給層42はAlを含まない電子走行層41に比べて極めて薄い。従って、主半導体領域4における平均的に見たAlの割合は電子走行層41におけるAlの割合とほぼ同一になり、多層構造バッファ領域5よりも小さい。主半導体領域4における平均的に見た格子定数は、電子走行層41における格子定数とほぼ同一になり、多層構造バッファ領域5よりも大きく且つ基板2よりも小さい。

20

主半導体領域4は、GaNから成る電子走行層41とAlGaNから成る電子供給層42とに限定されるものでなく、種々の化合物半導体、好ましくは窒化物半導体で形成することができる。しかし、主半導体領域4における平均的に見たAlの割合は、第1及び第2の多層構造バッファ領域5、8よりも小さいことが望ましい。また、主半導体領域4における平均的に見た格子定数は、第1及び第2の多層構造バッファ領域5、8よりも大きいことが望ましい。図2の主半導体領域4のGaNから成る電子走行層41はAlGaNから成る電子供給層42よりも大幅に厚いので、主半導体領域4の平均的に見たAlの割合、及び平均的に見た格子定数は上記の要求を満たしている。

30

#### 【0022】

図4は、図1～図3に示した半導体ウエーハ1を使用して製作したHEMTを示す。説明を簡略化するために図4において図1と実質的に同一の部分に同一の符号を付し、その説明を省略する。第1の電極としてのソース電極91及び第2の電極としてのドレイン電極92は電子供給層42にオーミック(低抵抗)接触し、制御電極としてのゲート電極93は電子供給層42にショットキー接触している。なお、ソース電極91及びドレイン電極92と電子供給層42との間にn型不純物濃度の高いコンタクト層を設けることができる。HEMTの動作の安定化を図るために基板2の下面に補助電極94が設けられ、これが導体95によってソース電極91に接続されている。従って、図4のHEMTにおいてドレイン電極92と基板2の下面に設けられた補助電極94との間の耐圧が重要になる。基板2はシリコン半導体であるので、ここに耐圧をさほど期待できない。そこで、この実施例では耐圧向上のためにバッファ領域3及び主半導体領域4が比較的厚く形成されている。

40

#### 【0023】

次に、図1の半導体ウエーハ1の製造方法の一例を説明する。

まず、ミラー指数で示す結晶の面方位において(111)面とされた主面を有し、シリコン基板2を用意する。

#### 【0024】

50

次に、基板 2 を周知のMOCVD ( Metal Organic Chemical Deposition ) 即ち有機金属気相成長装置の反応室に投入し、基板 2 の表面の酸化膜を取り除いた後、反応室にTMA ( トリメチルアルミニウム )、及びアンモニアを流して、シリコン基板 2 の上にAlN ( 窒化アルミニウム ) から成る第 1 の層 6 1 をエピタキシャル成長させる。その後、TMA の供給を止め、アンモニアの供給は継続し、これと共にTMG ( トリメチルガリウム ) を流してGaNから成る第 2 の層 6 2 をエピタキシャル成長させる。第 1 及び第 2 の層 6 1 , 6 2 の形成工程を所望回数繰返して図 3 に示すサブ多層構造バッファ領域 6 を得る。

【 0 0 2 5 】

次に、反応室にアンモニアとTMG ( トリメチルガリウム ) を流してGaNから成る単層構造バッファ領域 7 をエピタキシャル成長させる。

10

【 0 0 2 6 】

次に、単層構造バッファ領域 7 の上にサブ多層構造バッファ領域 6 及び単層構造バッファ領域 7 を所望回数繰返して形成して第 1 の多層構造バッファ領域 5 を得る。

【 0 0 2 7 】

次に、反応室にアンモニアとTMA ( トリメチルアルミニウム ) 及びアンモニアとTMG ( トリメチルガリウム ) を交互に流してAlNから成る第 3 の層 8 1 とGaNから成る第 4 の層 8 2 との交互積層体から成る第 2 の多層構造バッファ領域 8 を形成する。

【 0 0 2 8 】

この実施例では、第 2 の多層構造バッファ領域 8 の第 3 の層 8 1 と第 1 の多層構造バッファ領域 5 のサブ多層構造バッファ領域第 6 に含まれる第 1 の層 6 1 が共に 5 nm のAlN から成る。しかし、第 2 の多層構造バッファ領域 8 の第 4 の層 8 2 がサブ多層構造バッファ領域第 6 に含まれる第 2 の層 6 2 よりも厚く形成されている。これにより、この第 2 の多層構造バッファ領域 8 の平均的又は巨視的に見たアルミニウムの含有率は第 1 の多層構造バッファ領域 5 よりも小さい。

20

【 0 0 2 9 】

しかる後、周知のエピタキシャル成長法で主半導体領域 4 を第 2 の多層構造バッファ領域 8 の上に形成し、半導体ウエーハを完成させる。

【 0 0 3 0 】

図 5 は、半導体ウエーハ 1 の各領域 5、8、4 に生じる応力 ( 歪力 ) を模式的に示す。第 1 の多層構造バッファ領域 5 は図 2 に示すように複数のサブ多層構造バッファ領域 6 と単層構造バッファ領域 7 を含むが、平均的に見てAlの割合 ( 含有率 ) が主半導体領域 4 よりも大きく、平均的に見て格子定数が主半導体領域 4 よりも小さいので、図 5 で外向きの矢印で示すように引張応力 ( 伸張応力 ) を生じる。第 2 の多層構造バッファ領域 8 は図 3 に示すようにAlを含む第 3 の層 8 1 とAlを含まない又は第 3 の層 8 1 よりも少なく含む第 4 の層 8 2 との積層体であるが、平均的に見てAlの割合が主半導体領域 4 よりも大きく且つ第 1 の多層構造バッファ領域 5 よりも小さく、また平均的に見て格子定数が主半導体領域 4 よりも小さく且つ第 1 の多層構造バッファ領域 5 よりも大きいので、第 2 の多層構造バッファ領域 8 に図 5 で外向きの矢印で示すように引張応力 ( 伸張応力 ) を生じる。しかし、第 2 の多層構造バッファ領域 8 の平均的に見たAlの含有率が第 1 の多層構造バッファ領域 5 の平均的に見たAlの含有率よりも低いので、第 2 の多層構造バッファ領域 8 の引張応力 ( 伸張応力 ) は第 1 の多層構造バッファ領域 5 のそれよりも小さい。これに対して、平均的に見て格子定数が第 1 及び第 2 の多層構造バッファ領域 5、8 よりも大きい主半導体領域 4 には図 5 で内側に向いている矢印で示すように圧縮応力を生じる。第 2 の多層構造バッファ領域 8 は、主半導体領域 4 における圧縮応力と第 1 の多層構造バッファ領域 5 における引張応力との相殺を助ける。即ち、第 2 の多層構造バッファ領域 8 の第 3 及び第 4 の層 8 1 , 8 2 の積層数を調整することによって、主半導体領域 4 における圧縮応力とバッファ領域 3 全体の引張応力との相殺が良好に達成され、半導体ウエーハ 1 の反りが低減する。

30

40

【 0 0 3 1 】

図 6 の実線 A は本発明に従ってシリコン基板 2 の上に第 1 の多層構造バッファ領域 5、

50

第2の多層構造バッファ領域8及び主半導体領域4のGaNから成る電子走行層41を順次に形成した場合における各段階の半導体ウエーハの反りの変化を巨視的に示す。点線Bは従来例(比較例)における半導体ウエーハの反りの変化を巨視的に示す。なお、図6の横軸は、シリコン基板2の一方の主面を基準位置(ゼロ)とした半導体ウエーハの厚みを示し、縦軸の0よりも上は負の反り即ち凹状反りの大きさを示し、縦軸の0よりも下は正の反り即ち凸状反りの大きさを示す。

【0032】

図6の実線Aにおける第1~第8の点A1~A8におけるシリコン基板2の上に成長させた窒化物の膜厚Tと反りWとの関係は次の通りである。なお、シリコン基板2及び半導体ウエーハの直径は125mm(5インチ)であり、シリコン基板2の厚みは700 $\mu$ mである。また、図6の点A0及びB0は窒化物の膜厚Tがゼロの時のシリコン基板2の反りWがゼロであることを示している。また、第1の多層構造バッファ領域5を構成するサブ多層構造バッファ領域6に含まれる第1の層61、第2の多層構造バッファ領域8を構成する第3の層81はAlNから成り、第1の多層構造バッファ領域5を構成するサブ多層構造バッファ領域6に含まれる第2の層62と単層構造バッファ領域7と第2の多層構造バッファ領域8を構成する第4の層82と電子走行層41はGaNからそれぞれ成る。

第1の点A1における膜厚Tは0.62 $\mu$ m、反りWは-50 $\mu$ mであり、  
 第2の点A2における膜厚Tは1.22 $\mu$ m、反りWは-60 $\mu$ mであり、  
 第3の点A3における膜厚Tは1.82 $\mu$ m、反りWは-70 $\mu$ mであり、  
 第4の点A4における膜厚Tは2.12 $\mu$ m、反りWは-75 $\mu$ mであり、  
 第5の点A5における膜厚Tは2.42 $\mu$ m、反りWは-80 $\mu$ mであり、  
 第6の点A6における膜厚Tは2.72 $\mu$ m、反りWは-76 $\mu$ mであり、  
 第7の点A7における膜厚Tは3.52 $\mu$ m、反りWは-25 $\mu$ mであり、  
 第8の点A8における膜厚Tは4.52 $\mu$ m、反りWは+30 $\mu$ mである。

図6において、第5、第6及び第8の点A5、A6、A8は図2の高さ位置P1、P2、P3'に対応している。従って、第5の点A5は図2の第1の多層構造バッファ領域5のみを形成した状態の半導体ウエーハの反りを示し、第6の点A6は図2の第1の多層構造バッファ領域5及び第2の多層構造バッファ領域8のみを形成した状態の半導体ウエーハの反りを示し、第8の点A8は図2の第1の多層構造バッファ領域5、第2の多層構造バッファ領域8及び主半導体領域4の電子走行層41の全部を形成した状態の半導体ウエーハの反りを示す。なお、図6の第8の点A8は主半導体領域4の電子供給層42を形成する前の半導体ウエーハの反りを示しているが、電子供給層42は電子走行層41よりも大幅に薄いので、電子供給層42の半導体ウエーハの反りへの影響は極めて小さく、電子供給層42を形成した後の半導体ウエーハの反りは図6の第8の点A8とほぼ同一である。

【0033】

図6の点線Bは、本発明に従う図2の第2の多層構造バッファ領域8に相当するものを設けず、図2のバッファ領域3の全体を図2の第1の多層構造バッファ領域5で形成したものに相当する従来例の半導体ウエーハの反りを示す。この点線Bにおける第1~第8の点B1~B8における窒化物の膜厚Tと反りWとの関係は次の通りである。

第1の点B1における膜厚Tは0.62 $\mu$ m、反りWは-50 $\mu$ mであり、  
 第2の点B2における膜厚Tは1.22 $\mu$ m、反りWは-60 $\mu$ mであり、  
 第3の点B3における膜厚Tは1.82 $\mu$ m、反りWは-70 $\mu$ mであり、  
 第4の点B4における膜厚Tは2.12 $\mu$ m、反りWは-75 $\mu$ mであり、  
 第5の点B5における膜厚Tは2.42 $\mu$ m、反りWは-80 $\mu$ mであり、  
 第6の点B6における膜厚Tは2.72 $\mu$ m、反りWは-85 $\mu$ mであり、  
 第7の点B7における膜厚Tは3.52 $\mu$ m、反りWは+30 $\mu$ mであり、  
 第8の点B8における膜厚Tは4.52 $\mu$ m、反りWは+150 $\mu$ mである。

図6において、点線Bにおける第1~第5の点B1~B5は実線Aにおける第1~第5の点A1~A5と同一の値を示している。また、点線Bにおける第1の点B1は図2のサブ多層構造バッファ領域6と第1の単層構造バッファ領域7とのペアに相当するものを2

10

20

30

40

50

回繰り返して形成した半導体ウエーハの反りを示し、第2の点B2は図2のサブ多層構造バッファ領域6と第1の単層構造バッファ領域7とのペアに相当するものを4回繰り返して形成した半導体ウエーハの反りを示し、第3の点B3は図2のサブ多層構造バッファ領域6と第1の単層構造バッファ領域7とのペアに相当するものを6回繰り返して形成した半導体ウエーハの反りを示し、第4の点B4は図2のサブ多層構造バッファ領域6と第1の単層構造バッファ領域7とのペアに相当するものを7回繰り返して形成した半導体ウエーハの反りを示し、第5の点B5は図2のサブ多層構造バッファ領域6と第1の単層構造バッファ領域7とのペアに相当するものを8回繰り返して形成した半導体ウエーハの反りを示し、第6の点B6は図2のサブ多層構造バッファ領域6と第1の単層構造バッファ領域7とのペアに相当するものを9回繰り返して形成した半導体ウエーハの反りを示す。なお、前記第6の点B6はバッファ領域の全体を図2のサブ多層構造バッファ領域6と第1の単層構造バッファ領域7とのペアに相当するものの繰り返しで形成した直後の半導体ウエーハの反りを示している。点線Bにおける第6～第8の点B6～B8は図2の主半導体領域4の電子走行層41に相当するGaN層を形成した場合の反りを示している。

10

#### 【0034】

図6の点線Bで示すようにバッファ領域の全部を第1の多層構造バッファ領域5に相当するもののみで構成した場合には、シリコン基板2の影響を受けて図6の点線Bの第1の点B1から第6の点B6に示すようにバッファ領域厚みの増大に応じて負の反りが増大する。従って、点線Bで示す従来のバッファ領域の場合にはバッファ領域の厚さを増大させても、反りは改善されない。図6の点線Bの第6の点B6から第8の点B8に示すように電子走行層のためのGaN層をバッファ領域の上に形成すると、負の反りが徐々に少なくなり、その後正の反りが徐々に大きくなる。もし従来方法でバッファ領域と主半導体領域との合計の厚みを点線Bの第8の点B8に示すように4.52 $\mu\text{m}$ にすれば比較的大きい正の反り150 $\mu\text{m}$ が生じる。

20

#### 【0035】

これに対して、本発明に従って図6の実線Aに示すようにバッファ領域3及び電子走行層41のためのGaN層を形成すると、実線Aの第8の点A8に示すようにバッファ領域3及び電子走行層41のためのGaN層との合計の厚みが比較的大きい4.52 $\mu\text{m}$ の場合の反りは極めて小さい30 $\mu\text{m}$ である。これを詳しく説明すると、実線Aの第5の点A5と第6の点A6との間に示すように第1の単層構造バッファ領域7よりも平均的に見た格子定数が大きい第2の多層構造バッファ領域8を設けると、負の反りが小さくなる。即ち、第2の多層構造バッファ領域8には図5で既に説明したように引張応力が加わる。しかし、この引張応力は第1の多層構造バッファ領域5よりも小さく且つ第2の多層構造バッファ領域8が第1の多層構造バッファ領域5よりも基板2から離れているため、第2の多層構造バッファ領域8と基板2との格子定数差に伴う応力の影響が小さくなり、反りの増大の傾きが小さくなる。このため、実線Aの第5の点A5と第6の点A6との間で負の反りの増大が制限され、負の反りが低下する。しかる後、主半導体領域4の電子走行層41のためのGaN層を設けると、主半導体領域4には既に説明したように圧縮応力が生じ、バッファ領域3の引張応力の打ち消しが生じ、実線Aの第6の点A6と第8の点A8との間に示すように点線Bの第6の点B6と第8の点B8との間よりも緩い傾きで負の反りが徐々に少なくなり、第8の点A8では極めて小さい+30 $\mu\text{m}$ になる。実線Aの第8の点A8の膜厚4.52 $\mu\text{m}$ における反り+30 $\mu\text{m}$ は、点線Bの第8の点B8の膜厚4.52 $\mu\text{m}$ における反り+150 $\mu\text{m}$ よりも大幅に小さい。

30

40

なお、図6の実線A及び点線Bの各点間が直線で結ばれているが、微視的に見ると、第1の多層構造バッファ領域5及び第2の多層構造バッファ領域8の中に第1の単層構造バッファ領域7が間欠的に存在するので、各区間の反りは階段的に変化する。

#### 【0036】

反りをゼロ又はこれに近い値に抑制するというのみを目的とする場合には、図6で点線Bで示す従来例であっても第6の点B6と第7の点B7との間で反りをゼロにすることができる。しかし、点線Bで示す第6の点B6と第7の点B7の間では所望の厚みの

50

半導体ウエーハを得ることができない。

また、図6の実線Aにおける反りの最大値は第5の点A5であり、点線Bにおける第6の点A6の反りの最大値よりも小さくなる。反りの最大値が小さくなると、主半導体領域4における転位が低減する。また、図6の実線Aの第6～第8の点A6～A8に示すように反りの傾きが小さくなると、半導体ウエーハの量産時に生じる厚み方向位置P3における反りのバラツキを容易に小さくすることができる。

【0037】

実施例1は上記の効果の他に、次の効果も有する。

(1) 半導体ウエーハ1の反りが抑制されると、半導体ウエーハ1を使用した半導体素子の製造が容易になるばかりでなく、主半導体領域4のクラック及び転位が抑制される。

10

(2) 半導体ウエーハ1が厚くなると、半導体素子の耐圧が向上する。

(3) 複数のサブ多層構造バッファ領域6のそれぞれが比較的薄い第1及び第2の層61、62の積層体であるので、反りの調整が容易であり、且つバッファ領域3を厚く形成することができる。

(4) 第1の多層構造バッファ領域5におけるサブ多層構造バッファ領域6はアルミニウムを含み且つ比較的格子定数が小さい第1の層61を有しているので巨視的に見て引張応力を発生する。また、サブ多層構造バッファ領域6の相互間に配置された単層構造バッファ領域7は、アルミニウムを含まないか又は第1の層61よりも低い割合で含み且つ比較的大きい格子定数を有しているので、圧縮応力を発生する。従って、サブ多層構造バッファ領域6の引張応力を単層構造バッファ領域7の圧縮応力である程度打ち消すことができ、第1の多層構造バッファ領域5の引張応力を低減することができ、第1の多層構造バッファ領域5を比較的厚く形成することができる。

20

(5) 第2の多層構造バッファ領域8は、比較的薄い第3及び第4の層81、82の積層体であるので、反りの調整が容易であり、且つ第2の多層構造バッファ領域8を厚く比較的形成することができる。

【実施例2】

【0038】

次に、図7を参照して第2の実施例の半導体ウエーハ1aを説明する。但し、図7において図2と実質的に同一の部分には同一の参照符号を付してその説明を省略する。

【0039】

図7の半導体ウエーハ1aは、変形された第1の多層構造バッファ領域5aを含む変形されたバッファ領域3a有する他は、図2の半導体ウエーハ1と同様に形成されている。図7の変形された第1の多層構造バッファ領域5aは、図2の第1の多層構造バッファ領域5の最も上に配置された単層構造バッファ領域7を省き、この他は図2と同一に構成したものである。従って、図7の第1の多層構造バッファ領域5aの単層構造バッファ領域7の数はサブ多層構造バッファ領域6の数よりも1個少ない。

30

【0040】

図7の半導体ウエーハ1aにおいても、第2の多層構造バッファ領域8は、平均的又は巨視的に見たアルミニウムの含有率が第1の多層構造バッファ領域5aよりも小さく、且つ平均的又は巨視的に見た格子定数が第1の多層構造バッファ領域5aよりも大きくなるように形成されている。従って、実施例2によっても実施例1と実質的に同一の効果を得ることができる。

40

【実施例3】

【0041】

次に、図8を参照して実施例3の半導体ウエーハ1bを説明する。但し、図8において図2と実質的に同一の部分には同一の参照符号を付してその説明を省略する。

【0042】

図8の半導体ウエーハ1bは、変形された第2の多層構造バッファ領域8aを含む変形されたバッファ領域3b有する他は、図2の半導体ウエーハ1と同様に形成されている。図8において、第1の多層構造バッファ領域5は、図2と同様に複数の第1のサブ多層構

50

造バッファ領域 6 と複数の第 1 の単層構造バッファ領域 7 とから成り、図 8 の変形された第 2 の多層構造バッファ領域 8 a は、複数の第 2 のサブ多層構造バッファ領域 8'、8 と該複数の第 2 のサブ多層構造バッファ領域 8'、8 の相互間に配置された第 2 の単層構造バッファ領域 9 0 とから成る。図 8 の複数の第 2 のサブ多層構造バッファ領域 8'、8 は、図 3 に示す第 2 の多層構造バッファ領域 8 と同様にそれぞれ形成されている。第 2 の単層構造バッファ領域 9 0 は第 1 の多層構造バッファ領域 5 の第 1 の単層構造バッファ領域 7 と実質的に同一に形成されている。図 8 では、第 2 の多層構造バッファ領域 8 a のために 2 個の第 2 のサブ多層構造バッファ領域 8'、8 が設けられているが、3 個以上にし、これらの相互間に第 2 の単層構造バッファ領域 9 0 をそれぞれ配置することができる。

10

## 【0043】

図 8 の半導体ウエーハ 1 b においても、第 2 の多層構造バッファ領域 8 a は、平均的又は巨視的に見たアルミニウムの含有率が第 1 の多層構造バッファ領域 5 よりも小さく、且つ平均的又は巨視的に見た格子定数が第 1 の多層構造バッファ領域 5 よりも大きくなるように形成されている。従って、実施例 3 は実施例 1 と同様な効果を有する。更に、図 8 の半導体ウエーハ 1 b は、第 2 の単層構造バッファ領域 9 0 を有するので第 2 の多層構造バッファ領域 8 a を比較的厚く形成できるという効果を有する。

## 【実施例 4】

## 【0044】

次に、図 9 を参照して実施例 4 の半導体ウエーハ 1 c を説明する。但し、図 9 において図 2、図 7、図 8 と実質的に同一の部分には同一の参照符号を付してその説明を省略する。

20

## 【0045】

図 9 の半導体ウエーハ 1 c は、変形された第 1 及び第 2 の多層構造バッファ領域 5 a、8 b を含む変形されたバッファ領域 3 c を有する他は、図 2 の半導体ウエーハ 1 と同様に形成されている。図 9 の第 1 の多層構造バッファ領域 5 a は、図 7 と同様に形成されている。また、図 9 の第 2 の多層構造バッファ領域 8 b は、図 8 で同一の参照符号で示すものと同様に形成された複数の第 2 のサブ多層構造バッファ領域 8'、8 と第 2 の単層構造バッファ領域 9 0 の他に、第 3 のサブ多層構造バッファ領域 9 1 を有する。第 3 のサブ多層構造バッファ領域 9 1 は第 2 のサブ多層構造バッファ領域 8' と第 2 の単層構造バッファ領域 9 0 との間に配置されている。

30

## 【0046】

第 3 のサブ多層構造バッファ領域 9 1 は、図 10 に示すように交互に配置された複数の第 5 及び第 6 の層 6 1'、6 2' の積層体から成る。第 5 の層 6 1' はアルミニウムを第 3 の層 8 1 のアルミニウムの割合（第 3 の割合）と同じ又はそれよりも小さい第 5 の割合で含む窒化物半導体から成り、第 6 の層 6 2' はアルミニウムを含まない又は第 4 の層 8 2 のアルミニウムの割合（第 4 の割合）よりも小さい第 6 の割合で含む窒化物半導体から成る。製造を容易にするために第 5 の層 6 1' を図 3 の第 1 の層 6 1 と同一の窒化物半導体（例えば AlN）で形成し、且つ第 6 の層 6 2' を図 3 の第 2 の層 6 2 と同一の窒化物半導体（例えば GaN）で形成することが望ましい。

40

## 【0047】

図 9 の変形された第 2 の多層構造バッファ領域 8 b は、平均的又は巨視的に見たアルミニウムの含有率が第 1 の多層構造バッファ領域 5 a よりも小さく、且つ平均的又は巨視的に見た格子定数が第 1 の多層構造バッファ領域 5 a よりも大きくなるように形成されている。従って、変形された第 2 の多層構造バッファ領域 8 b は、第 2 の多層構造バッファ領域 8 と同様な効果を有し、更に、第 2 の単層構造バッファ領域 9 0 を有するので第 2 の多層構造バッファ領域 8 b を比較的厚く形成できるという効果を有する。

## 【実施例 5】

## 【0048】

次に、図 11 を参照して実施例 5 の半導体ウエーハ 1 d を説明する。但し、図 11 にお

50

いて図2及び図3と実質的に同一の部分には同一の参照符号を付してその説明を省略する。

【0049】

図11の変形されたバッファ領域3dは、変形された第1及び第2の多層構造バッファ領域5b、8cを有する。その一部のみが示されている変形された第1の多層構造バッファ領域5bは、図2の複数のサブ多層構造バッファ領域6に含まれている図3に示す複数の第2の層62の厚みを互いに同一とせず異なる値にし、この他は図2及び図3の第1の多層構造バッファ領域5と同一に形成したものである。変形された第1の多層構造バッファ領域5bは、変形されたサブ多層構造バッファ領域6aと単層構造バッファ領域7とを、図2のサブ多層構造バッファ領域6と単層構造バッファ領域7と同様に交互に複数有する。変形されたサブ多層構造バッファ領域6aは複数の第1の層61と互いに厚みの異なる複数の第2の層62a~62dとの交互積層体である。第2の層62a~62dは図3に示す第2の層62と同一の窒化物半導体(例えばGaN)で形成され、基板2から主半導体領域4に向って徐々に厚くなる厚みT1, T2, T3, T4を有する。なお、第2の層62a~62dの内の最大の厚みT4は単層構造バッファ領域7の厚みTeよりも薄く設定されている。図11では、複数のサブ多層構造バッファ領域6aが同一に構成されているが、複数のサブ多層構造バッファ領域6aを互いに異なる構成とすることができる。例えば、複数のサブ多層構造バッファ領域6aの中の第2の層62a~62dの厚みを基板2から主半導体領域4に向って徐々に厚くなるように互いに異なる値に設定することができる。

10

20

【0050】

図11の変形された第2の多層構造バッファ領域8cは、図3に示す第2の多層構造バッファ領域8の第4の層82の厚みを互いに同一とせず互いに異なる厚みT11, T12, T13, T14に変形した第4の層82a~82dを設け、この他は図3と同一に構成したものである。第4の層82a~82dの厚みT11, T12, T13, T14は第1の多層構造バッファ領域5bから主半導体領域4に向って徐々に厚くなるように設定されている。なお、図11の第3の層81及び第4の層82a~82dの材料は図3の第3の層81及び第4の層82と同一である。

【0051】

図11の半導体ウエーハ1dの基本的構成は図2及び図3と同一であるので、図11の実施例5によっても実施例1と同様な効果を得ることができる。即ち、図11の半導体ウエーハ1dにおいて、第2の多層構造バッファ領域8cは、平均的又は巨視的に見たアルミニウムの含有率が第1の多層構造バッファ領域5bよりも小さく、且つ平均的又は巨視的に見た格子定数が第1の多層構造バッファ領域5bよりも大きくなるように形成されている。従って、実施例5によっても実施例1と実質的に同一の効果を得ることができる。更に、Alの含有率が比較的低く且つ格子定数が第1及び第3の層61, 81よりも主半導体領域4の格子定数に近い第2の層62a~62dの厚み及び第4の層82a~82dの厚みが基板2から主半導体領域4に向って徐々に厚くなるように設定されているので、バッファ領域3dの巨視的にみた格子定数が基板2から主半導体領域4に向って徐々に大きくなり、主半導体領域4の格子定数に徐々に近づく。従って、主半導体領域4の反り、クラック、転位が良好に改善される。

30

40

【0052】

本発明は上述の実施例1~6に限定されるものでなく、例えば次変形が可能なものである。

(1) 主半導体領域4をHEMT以外のMESFET, SBD, LED等の別の半導体素子を構成するように形成することができる。

(2) 製造を簡略化するために単層構造7とサブ多層構造バッファ領域6の第2の層62を同一の半導体材料で形成することが望ましいが、これ等を互いに別な半導体材料で形成することもできる。

(3) 補助電極94をソース電極91に接続する代わりにドレイン電極92に接続する

50

こともできる。

(4) シリコン基板 2 とバッファ領域 3、3 a ~ 3 d との間に例えば A 1 N 等の別のバッファ層を設けることができる。

(5) 主半導体領域 4 の中に例えば A 1 N 層等の別の層を付加することができる。

(6) 主半導体領域 4、及びバッファ領域 3、3 a ~ 3 d を窒化物半導体以外の化合物半導体、例えば 3 - 5 族化合物半導体で構成することができる。

【図面の簡単な説明】

【0053】

【図1】本発明の実施例 1 に従う半導体ウエーハを概略的に示す断面図である。

【図2】図 1 の半導体ウエーハを詳しく示す断面図である。

10

【図3】図 2 の一部を更に詳しく示す断面図である。

【図4】図 1 の半導体ウエーハに基づいて形成した H E M T を概略的に示す断面図である。

【図5】反りを説明するための半導体ウエーハの断面図である。

【図6】反りを説明するための主半導体領域及びバッファ領域の厚みと反りとの関係を示す図である。

【図7】本発明の実施例 2 に従う半導体ウエーハを概略的に示す断面図である。

【図8】本発明の実施例 3 に従う半導体ウエーハを概略的に示す断面図である。

【図9】本発明の実施例 4 に従う半導体ウエーハを概略的に示す断面図である。

【図10】図 9 の第 3 のサブ多層構造バッファ領域を詳しく示す断面図である。

20

【図11】本発明の実施例 5 に従う半導体ウエーハの一部を概略的に示す断面図である。

【符号の説明】

【0054】

1, 1 a ~ 1 e 半導体ウエーハ

2 シリコン基板

3, 3 a ~ 3 d バッファ領域

4 主半導体領域

5, 5 a、5 b、5 c 第 1 の多層構造バッファ領域

6 サブ多層構造バッファ領域

7 単層構造バッファ領域

30

8, 8 a、8 b、8 c、8 d 第 2 の多層構造バッファ領域

6 1, 6 2 第 1 及び第 2 の層

8 1, 8 2 第 3 及び第 4 の層





---

フロントページの続き

- (56)参考文献 特表2006-523033(JP,A)  
特表2005-527988(JP,A)  
特開平09-199759(JP,A)  
特開平08-316243(JP,A)  
特開2006-100501(JP,A)  
特開2003-017742(JP,A)

(58)調査した分野(Int.Cl., DB名)

H01L 21/20  
H01L 21/338  
H01L 29/778  
H01L 29/812